

بررسی پارامترهای حسگری نسبت به گاز اتانول و تعیین بند گپ در اثر افزودن اکسید نیکل به زیرکونیای پایدارشده با ایتریا

کارشناس ارشد، دانشکده مهندسی مواد، واحد علوم و تحقیقات، دانشگاه آزاد اسلامی، تهران
دانشیار، دانشکده مهندسی متالورژی و مواد، دانشگاه علم و صنعت، تهران
استادیار، دانشکده مهندسی مواد، واحد علوم و تحقیقات، دانشگاه آزاد اسلامی، تهران
دانشیار، دانشکده مهندسی و علم مواد، دانشگاه صنعتی شریف، تهران
دانشجوی دکترا، دانشکده مهندسی متالورژی و مواد، دانشگاه علم و صنعت، تهران

زهرا ابوالقاسمی*
مرتضی تمیزی فر
کاووه ارزانی
علی نعمتی
ارسیا خانفکر

چکیده

در این مقاله پس از فرمول بندی و ساخت لایه های ضخیم $8\text{YSZ} - 1/\text{Ni} - 8\text{YSZ}$ توسط روش چاپ سیلک روی زیر پایه الومینایی، مقدار بند گپ در اثر افزودن اکسید نیکل با نمونه بدون دوپینت و همچنین حساسیت این حسگرها نسبت به بخار اتانول مورد بررسی و مقایسه قرار گرفت. از اهداف این پژوهش بررسی و مقایسه مقدار بند گپ، انرژی فعالسازی، تغییرات حساسیت، زمان پاسخ و بازیابی می باشد. نتایج نشان می دهد که نمونه بدون دوپینت نسبت به Ni-YSZ مقدار کمتر بند گپ و حساسیت بهتری را نشان می دهد، همچنین دمای کار کمتر و حساسیت در دمای کمتر از دیگر مزایای آن است.

واژه های کلیدی: YSZ، اکسید نیکل، حسگر، بخار اتانول

Investigation the Ethanol Gas Sensing Parameters and the Band Gap of Vttria-Stabilized Zirconia with the Addition of Nickel Oxide

Z. Abolghasemi	M. Sc., Department of Materials Engineering, Science and Research Branch, Islamic Azad University, Tehran,
M. Tamizifar	Associate Professor, Department of Metallurgical and Materials Engineering, University of Science and Technology, Tehran
K. Arzani	Assistant Professor, Department of Materials Engineering, Science and Research Branch, Islamic Azad University, Tehran
A. Nemati	Associate Professor, Department of Materials Science and Engineering, Sharif University of Technology, Tehran
A. khanfekr	Ph.D. student, Department of Metallurgical and Materials Engineering, University of Science and Technology, Tehran

Abstract

In this paper after the formulation and manufacture of thick 8YSZ and 1.5Ni-8YSZ layers by screen-printing method on Alumina substrate, the amount of YSZ and Ni-YSZ band gaps and the sensitivity of these sensors to ethanol vapor have been studied and compared. The objectives of this study are to examine and compare the amount of band gap, activation energy, sensitivity changes, response and recovery time. Regarding to the sensing results, YSZ causes a lower band gap and better sensitivity than Ni-YSZ, other advantages of the sample without dopant are the lower working temperature and sensitivity at lower temperature.

Keywords: YSZ, Nickel Oxide, Sensor, Ethanol Vapor

می‌روند [۲]. حسگر اکسیژن پتانسیومتری برای تشخیص ترکیبات آلی فرار در غلظت کمتر از 10 ppm در محدوده دمایی $400\text{--}500^\circ\text{C}$ توسط Mori و همکارانش بررسی شد. آن‌ها از دو الکترود Pt استفاده کردند که یکی از آن‌ها با Au پوشش داده شد. نتایج نشان داد که این پوشش موثر در افزایش حساسیت می‌باشد. زمان پاسخ و زمان بازیابی با افزایش دما افزایش در حالیکه پاسخ نیروی محرکه (EMF) کاهش یافت همچنین مقدار EMF بطور خطی با افزایش در لگاریتم غلظت ترکیبات آلی، افزایش یافت [۲].

جذب اکسیژن هدایت مواد نیمه هادی نوع p را در ازای افزایش غلظت حفرات افزایش می‌دهد، که حامل‌های اصلی بار در نیمه هادی‌های نوع p می‌باشند. به علاوه مقاومت آنها با استفاده از گازهای احیایی مانند اتانول افزایش می‌یابد [۳].

در تحقیق دیگری که توسط Bartolomeo و همکارانش انجام شد به بررسی حسگرهایی براساس لایه ضخیم YSZ با دو الکترود موازی Pt پرداختند که یکی از الکتروودها به عنوان الکترود تشخیص، توسط لایه ضخیم WO_3 پوشیده شد و دیگری به عنوان الکترود مرجع شناخته شد. حسگر در معرض NO_2 و CO در غلظت‌های مختلف ($1000\text{--}200\text{ ppm}$) در $500\text{--}650^\circ\text{C}$ قرار داده شد. بهترین حساسیت به گازهای NO_2 و CO در دمای 550°C درجه سانتیگراد مشاهده شد. زمان پاسخ به NO_2 و CO در 550°C درجه سانتیگراد به ترتیب ۲ دقیقه و ۴ ثانیه گزارش شد و با افزایش دمای عملیاتی سنسور، زمان پاسخ سریع‌تر شد [۴].

از عوامل مؤثر در افزایش یا کاهش حساسیت می‌توان به افزودن دوپنت، کاهش یا افزایش سایز دانه اشاره کرد [۵]. در برخی مطالعات نشان داده شده است که در اثر افزودن Ni به عنوان ساختار YSZ هدایت کاهش یافته است زیرا در طی ساخت در دمای بالا، Ni داخل الکتروولیت YSZ حل می‌شود و هدایت فیلم YSZ را کاهش می‌دهد [۶-۷]. همچنین برای کاربردهای نوری [۸] نظیر طیف سنجی و پوشش‌های سد حرارتی [۹] نیز استفاده می‌شود. تحقیقات قلی اثرات اندازه کریستال را روی ویژگی‌های نوری فیلم‌های اکسید بر پایه ZrKonyia نشان داده‌اند [۸]. حسگرها عموماً در دو حالت پودر پرس شده یا لایه ای (ضخیم و نازک) مورد استفاده قرار می‌گیرند که در این تحقیق از طریق لایه، حسگر مورد نظر ساخته شده است، به این صورت که لایه‌های YSZ و Ni - YSZ روی ZrKonyia آلومینایی چاپ سیلک شدند و سپس مقدار بندگپ Diffuse DRS (Reflection Spectroscopy) محاسبه شد و خواص حسگری آن‌ها نسبت به گاز اتانول مورد بررسی قرار گرفت،

۱- مقدمه

حسگر YSZ جزء حسگرهای الکتروشیمیایی است که خروجی حسگر پارامترهای الکتریکی (ولتاژ، جریان و مقاومت ظرفیت خازنی) می‌باشد. حسگرهای الکتروشیمیایی به سه دسته تقسیم می‌شوند:

(الف) حسگرهای اندازه‌گیر ولتاژ: این نوع، حسگرهای پتانسیومتریک نامیده می‌شوند.

(ب) حسگرهای اندازه‌گیر جریان الکتریکی: این نوع، حسگرهای آمپرومتریک نامیده می‌شوند.

(ج) حسگرهایی که تکیه بر هدایت دارند: این نوع، حسگرهای اندازه‌گیر هدایت نامیده می‌شوند.

قسمت اصلی حسگرهای الکتروشیمیایی یک الکتروود مثبت و یک الکتروود منفی برای پراکنده کردن بار یا الکترون‌ها و یک الکتروولیت برای انتقال بار یا الکترون‌ها از یک الکتروود به الکتروود دیگر می‌باشد [۱].

وقتی مواد اکسید زیرکونیم با $18\text{--}8\%$ اکسید ایتریم دوب می‌شوند مواد حاصله زیرکونیای پایدار شده با ایتریا نامیده می‌شوند که تحرک بالای یون اکسیژن وقتی دما به 350°C می‌رسد را نشان می‌دهند. بنابراین مواد می‌توانند به عنوان الکتروولیت برای انتقال یون‌های اکسیژن از یک الکتروود به دیگری در سلول الکتروشیمیایی استفاده شوند. در طی فرایند الکتروولیز (انتقال بار)، مولکول‌های اکسیژن در یک طرف سطح به یون تبدیل می‌شوند، از YSZ عبور می‌کنند و به مولکول خنثی با انتقال الکترون‌ها به سطح دیگر تبدیل می‌شوند. بنابراین در طی این فرایند، الکترون‌ها از یک الکتروود به دیگری درنتیجه‌ی اختلاف بار بین دو الکتروود انتقال می‌یابند.

اکسیژن موجود در محیط مرجع باید به سطح YSZ برسد، انتقال یون‌های اکسیژن از میان الکتروولیت زیرکونیا، فرایند فعال شده با گرمایی می‌باشد که این انتقال وقتی دمای الکتروولیت کمتر از 350°C باشد، امکان پذیر نمی‌باشد. ولتاژی که در کل الکتروولیت شناسایی می‌شود تنها در بالای این دما قابل قبول است [۱].

به دلیل آلودگی هوا توسط ترکیبات آلی فرار (VOCs)، غلظت آن‌ها در هوا باید به میزان زیادی کاهش یابد. در میان روش‌های مختلف استفاده شده برای تشخیص این گازهای مضر، حسگرهای حالت جامد به دلیل اندازه کوچک و سهولت در استفاده، مطلوب می‌باشند. حسگرهای الکتروشیمیایی بر اساس ZrKonyia که برای تشخیص NO_x و هیدروکربن‌ها مناسب می‌باشند، برای این منظور در نظر گرفته می‌شوند. این نوع حسگرهای پتانسیومتری برای تشخیص ترکیبات آلی فرار (مانند: اسید استیک، متیل اتیل کتون، اتانول، بنزن، تولوئن) در حد ppm در محدوده دمایی $400\text{--}500^\circ\text{C}$ درجه سانتی گراد به کار

تغییرات حساسیت بر حسب غلظت های مختلف گاز و بررسی کوتاهترین زمان پاسخ و بازیابی از اهداف این پژوهش است.

همچنین انرژی فعالسازی از طریق منحنی آرنیوس نیز محاسبه شد.

۳- نتایج و بحث

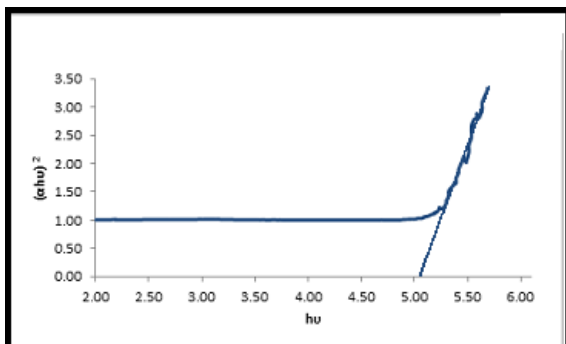
۳-۱- تعیین مقدار بندگپ

به منظور به دست آوردن بندگپ، مواد با بندگپ مستقیم $(\alpha h\nu)^2$ در مقابل انرژی $h\nu$ رسم شد. انرژی بندگپ (E_g) می-تواند با فرض انتقال مستقیم بند طرفیت و هدایت به دست آید. بندگپ فیلم YSZ، $5/0.6 \text{ eV}$ می-باشد که مطابق مقادیرگزارش شده است، و مربوط به ترکیب الکترون‌های به دام افتاده در جاهای خالی اکسیژن و یون‌های اکسیژن با حفره‌های به دام افتاده می-باشد [۱۳]. بندگپ می-تواند از رابطه ۳ حاصل شود:

$$(3) (\alpha h\nu)^2 = A(h\nu - E_g)$$

که α ضریب جذب خطی، E_g انرژی بندگپ، A ثابت، $h\nu$ انرژی فوتون و η ثابتی است که برابر 0.5 و 2 برای بهتر ترتیب بندگپ مستقیم و غیرمستقیم می-باشد.

با توجه به طرفیت متفاوت دوپنیت، به ازای هر جایگزینی در داخل سیستم حفره الکترونی ایجاد می-شود که یک سطح فرعی را ایجاد می-کند. عموماً سطح فرعی در داخل بند ممنوعه قرار می-گیرد. اگر مکان هندسی جاهای خالی (حفره) باشد با توجه به کمینه بودن انرژی، جذب الکترون می-شود که نزدیک باند والنس قرار می-گیرد و گیرنده الکترون می-باشد و به عنوان نیمه هادی نوع p (ثبت) شناخته می-شود. در این صورت سطح فرمی هم بین باند را به سمت پائین سوق می-دهد و یک سطح فرمی فرعی تبدیل می-شود. حرکت پذیری هر ناقل در بند ممنوعه صفر می-باشد و در نیمه‌هادی‌های نوع p الکترون‌ها نقش در هدایت ندارند و حفرات موجود در باند والنس هدایت را ایجاد می-کنند. شکل‌های ۱ و ۲ به ترتیب بندگپ نمونه‌های YSZ و YSZ-Ni_{1.5} را نشان می-دهند.



شکل ۱- تعیین بند گپ نمونه YSZ (خط چین مقدار بندگپ را نشان می‌دهد)

۲- روش تهیه

ابتدا نانو پودرهای تهیه شده توسط روش سل-زل [۱۰] با چسب آلی پلی ونیل الکل (PVA) ۵ wt% مخلوط و خمیر حاصله روی زیرپایه آلومینا چاپ سیلک (اسکرین پرینت) شدند به این صورت که شابلون با توری پلیمری و سایز مش ۳۲۵ بر روی یک تکیه گاه کاملاً مسطح نصب و زیرپایه‌ها در زیر شابلون قرار داده شدند. سپس خمیر تهیه شده با استفاده از کاردک پلیمری (اسکوبیوجی) بر روی زیرپایه‌ها چاپ شد. لایه‌های به دست آمده از چاپ در دمای اتاق به مدت ۲۴ ساعت خشک و سپس ۲ ساعت در ۱۲۷۰ °C پخت شدند. بعد از عملیات حرارتی، دمای نمونه‌ها همراه با پائین آمدن دمای کوره پائین آمد و سپس برای ساخت حساسه‌های گاز مورد استفاده قرار گرفت.

اندازه‌گیری طیف‌های بازتاب در ناحیه ۱۱۰۰ تا ۲۰۰ نانومتر انجام شد و خروجی آنالیز DRS دو طیف بازتاب و جذب است. این سیستم بر اساس تاباندن نور به سطح یک ماده و اندازه‌گیری میزان بازتاب پخشی و مقایسه با یک نمونه استاندارد (بدون جذب با پراکندگی زیاد) عمل می-کند.

برای ایجاد اتصالات الکتریکی به لایه حساس به گاز، از چسب رسانا بر پایه نقره با تحمل دمای بالا استفاده شد. اندازه‌گیری مقاومت نمونه بر حسب دما توسط منحنی آرنیوس به دست می-آید. به منظور تعیین مقاومت حسگرها از روش تقسیم ولتاژ استفاده شد. بدین ترتیب که یک مقاومت ثابت را با حسگر سری کرده و مقدار ۴ ولت ولتاژ متناوب با فرکانس ۸۰ Hz به این مجموعه اعمال شد. با خواندن افت ولتاژ دو سر مقاومت ثابت، مقادیر مقاومت حسگر از رابطه (۱) تعیین شد:

$$(1) R_s = \left(\frac{V_{in}}{V_0} - 1 \right) R_0$$

که R_s مقاومت حسگر در هر دما، V_{in} ولتاژ ورودی که روی ۴ ولت تنظیم شده بود، V_0 ولتاژ دو سر مقاومت و R_0 مقاومت ثابت سری شده با حسگر است.

حساسیت به صورت نسبت اندازه عامل متغیر حسگر در هوای آلوده به گاز هدف، به اندازه همان عامل در هوای خالص تعریف شده است. لذا حساسیت حسگر، به صورت رابطه (۲) بیان می-شود که در این رابطه R_g مقاومت الکتریکی در حضور گاز هدف و R_a همان مقاومت در هوای خالص است [۱۱-۱۲]:

$$(2) S = R_g / R_a$$

گاز استفاده شده برای آزمایش در این پژوهش بخار اتانول با غلظت ۵۰۰۰-۱۰۰ ppm است. مقایسه مقدار بندگپ، تعیین انرژی فعالسازی از روی منحنی آرنیوس، همچنین تغییرات حساسیت بر حسب دمای مختلف برای تعیین دمای کار و

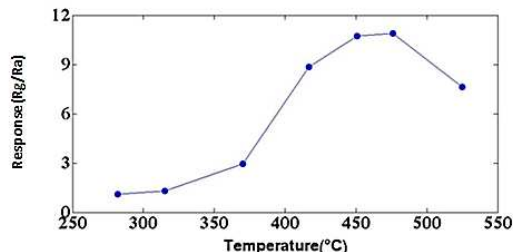
افزودن اکسید نیکل به عنوان دوپینت با محتوی کم به معنی انحلال دوپینت در شبکه زیرکونیا می‌باشد که منجر به افزایش انرژی فعالسازی بهدلیل افزایش پراکندگی شده است اما در غلظت‌های بالاتر دوپینت، مازاد NiO روی مرزهای دانه رسب و به عنوان رسانای الکترونیکی در مرزدانه عمل می‌کند و منجر به کاهش انرژی اکتیواسیون می‌شود [۱۴].

جدول ۱- انرژی فعالسازی حسگرهای ساخته شده

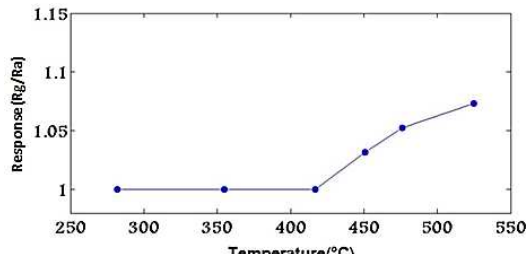
$1,5\text{Ni} - 8\text{YSZ}$	8YSZ	نمونه
۱,۸	۰,۴۸	(eV) انرژی فعالسازی

۳-۳- تعیین دمای کار

دمای کار یکی از عواملی است که می‌تواند اثرات عمدہ‌ای را بر حساسیت داشته باشد. از همین‌رو پیدا کردن دمای مناسب کار یک حسگر، یعنی دمایی که در آن حسگر بیشترین میزان حساسیت مورد انتظار را دارد، از اهمیت بسیار بالایی برخوردار است. برای یافتن دمای مناسب، میزان حساسیت به درصد ثابتی از گاز مورد انتظار (2000 ppm) در دمای مختلف اندازه‌گیری می‌شود. تغییرات حساسیت بر حسب دما برای حسگرهای ساخته شده در شکل‌های ۳ و ۴ نشان داده شده است.

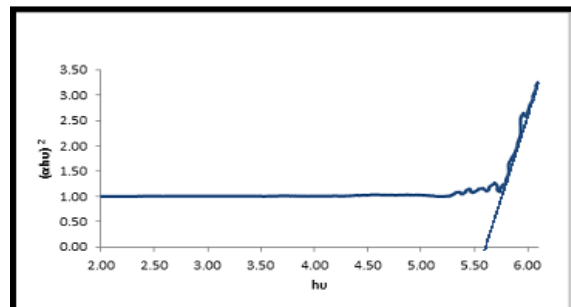


شکل ۵- منحنی تغییرات پاسخ به 2000 ppm گاز اتانول بر حسب دما برای نمونه 8YSZ



شکل ۶- منحنی تغییرات پاسخ به 2000 ppm گاز اتانول بر حسب دما برای نمونه $1,5\text{Ni} - 8\text{YSZ}$

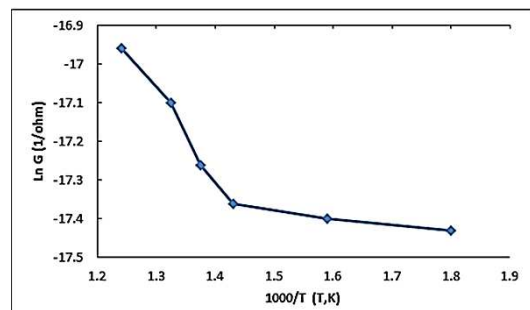
همان‌طور که در شکل‌های ۵ و ۶ دیده می‌شود، با افزایش دما، حساسیت حسگر به گاز اتانول بهدلیل کافی بودن انرژی گرمایی برای غلبه بر سد انرژی فعالسازی افزایش می‌یابد تا به بیشینه



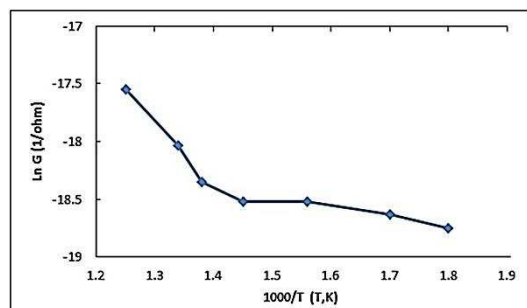
شکل ۲- تعیین بندگپ نمونه $\text{Ni}-\text{YSZ}$ (خط چین مقدار بندگپ را نشان می‌دهد)

با افزودن اکسید نیکل بندگپ افزایش یافته است (۵۶) زیرا انرژی فعالسازی افزایش می‌یابد، جدول ۲ نیز این مطلب را تائید می‌کند و بنابراین کاهش نفوذ شبکه را باعث شده است [۱۴].

۲-۳- تعیین انرژی فعالسازی
شکل‌های ۳ و ۴ نشان دهنده تغییرات لگاریتم رسانش الکتریکی بر حسب عکس دمای مطلق (نمودار آرنیوس) برای نمونه‌های به ترتیب YSZ و $\text{Ni} - \text{YSZ}$ است.

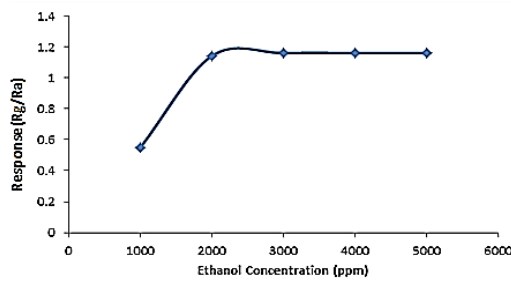


شکل ۳- منحنی آرنیوس نمونه 8YSZ



شکل ۴- منحنی آرنیوس نمونه $1,5\text{Ni} - 8\text{YSZ}$

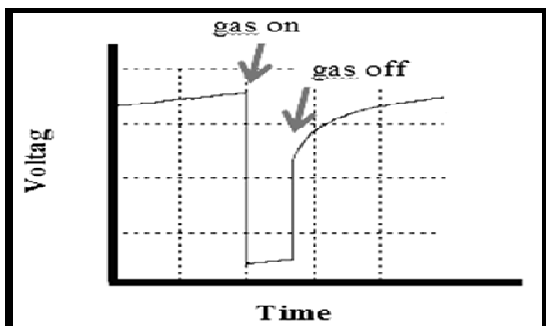
منحنی آرنیوس معیاری برای یافتن انرژی فعالسازی هدایت می‌باشد که انرژی فعالسازی از روی شب نمودارهای فوق به دست می‌آید. انرژی فعالسازی بیانگر توانایی بر هم کنش اکسیژن‌های جذب شیمیایی شده با گاز جذب شده است [۱۵]. در جدول ۱ انرژی فعالسازی هر دو نمونه لیست شده است.



شکل ۸- منحنی حساسیت بر حسب غلظت گاز اتانول برای نمونه ۱.۵Ni - ۸YSZ

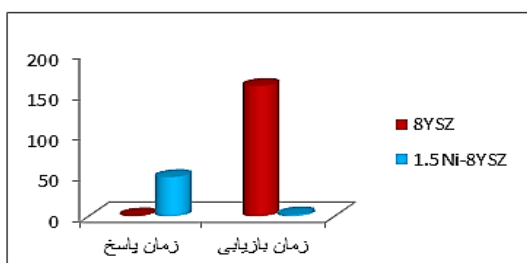
۳-۵-۳- زمان پاسخ و بازیابی

مطابق شکل ۹، زمانی که طول می‌کشد تا ولتاژ به 10% مقدار کمینه‌اش برسد زمان پاسخ و زمانی که طول می‌کشد تا ولتاژ به 90% مقدار ورودی‌اش بازگردد، زمان بازیابی نام دارد. زمان پاسخ به معنای جذب اکسیژن روی سطح توسط گاز ورودی و زمان بازیابی به معنای پس دهی اکسیژن می‌باشد به عبارتی اکسیژن‌هایی که با زیاد شدن غلظت گاز زمان پاسخ کاهش و زمان بازیابی افزایش می‌یابد زیرا تعداد بیشتری از مولکول‌های گاز هدف توسط اکسیژن‌های سطحی در واحد زمان جذب می‌شوند.



شکل ۹- منحنی ولتاژ بر حسب زمان

شکل ۱۰ و جدول ۲ کوتاه‌ترین زمان پاسخ و بازیابی را نشان می‌دهند که نمونه حاوی اکسید نیکل به دلیل دارا بودن انرژی فعالسازی بالا، زمان پاسخ طولانی‌تری را سبب شده است.

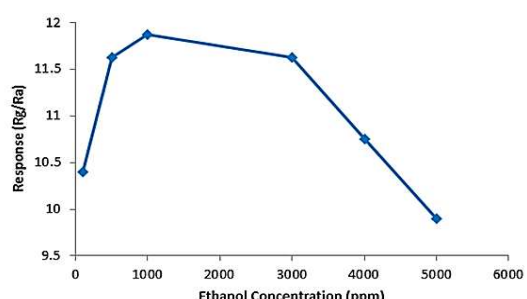


شکل ۱۰- مقایسه کوتاه‌ترین زمان پاسخ و بازیابی

مقدار خود می‌رسد. با افزایش بیشتر دما مشاهده می‌شود که مقدار حساسیت حسگر به گاز هدف به علت دفع اکسیژن‌های جذب شده روی سطح کاهش می‌یابد [۱۶]. به دلیل اینکه در دماهای پایین، محصول واکنش گاز و اکسیژن مستقر در سطح حسگر (RO)، نمی‌تواند از سطح جامد جدا شود تجمع RO در سطح، از ادامه واکنش گاز (R) با سطح حسگر ممانعت و باعث کاهش حساسیت می‌شود. بالا رفتن دما باعث تسهیل جدایش RO از سطح گردیده و سطح را برای اتصال R دیگر آماده می‌کند. همچنین نرخ واکنش احیایی با دما افزایش می‌یابد که این نیز به نوبه خود موجب افزایش حساسیت می‌شود. از طرف دیگر، در دماهای بالاتر نرخ جذب فیزیکی گاز احیا کننده به سطح کاهش می‌یابد که این خود باعث کاهش نرخ واکنش احیایی شده و منجر به کاهش حساسیت می‌شود [۱۱-۱۲]. با توجه به شکل ۵ دمای کار برای نمونه کار برای نمونه ۱.۵Ni-8YSZ 475°C و با توجه به شکل ۶ دمای کار برای نمونه کار برای نمونه 525°C است.

۴-۳- بررسی تغییرات حساسیت با غلظت گاز

بعد از به دست آوردن دمای کار هر حسگر، حساسیت آن نسبت به غلظت‌های مختلف گاز اتانول در دمای کار بررسی می‌شود. شکل‌های ۷ و ۸ مربوط به منحنی‌های حساسیت بر حسب غلظت در برابر گاز اتانول می‌باشد. با افزایش میزان غلظت گاز هدف احتمال واکنش میان مولکول‌های گاز و اتم‌های اکسیژنی که به صورت سطحی جذب شده‌اند بالا می‌رود. به همین دلیل است که شاهد افزایش حساسیت با بالا رفتن غلظت گاز اتانول هستیم. در حالت اشباع، تمام یون‌های اکسیژنی که مجاز به انجام واکنش هستند درگیر شده و افزایش بیش از حد غلظت گاز، نه تنها با افزایش حساسیت همراه نخواهد بود بلکه، از آنجایی که ممکن است در هنگام تخلیه گاز، تمام اتم‌های اکسیژن که پیش از انجام واکنش بر روی سطح جذب شده بودند، امکان واکنش مجدد با سطح را به دلیل حضور اتم‌های گاز هدف بر روی سطح پیدا نکنند، لذا حساسیت کاهش می‌یابد.



شکل ۷- منحنی حساسیت بر حسب غلظت گاز اتانول برای نمونه ۸YSZ

- [7] Herle, J.V., Vasquez, R. " Conductivity of Mn and Ni-doped stabilized zirconia electrolyte", *J. European Ceramic Society*, vol. 24, Issue 6, pp. 1177-1180, 2004.
- [8] Petrovsky, I. V., Anderson, H.U., "Band gap energy in nanocrystalline ZrO_2 :16% Y thin films", *J. Applied Physics Letters*, vol. 74, Issue 3, pp. 341-343, 1999.
- [9] Leoni, M., Jones, R.L., Scardi, P., "Phase stability of scandia- yttria-stabilized zirconia TBCs", *J. Surface and Coating Technology*, vol. 108-109, Issue 10, pp. 107-113, 1998.
- [10] Abolghasemi, Z., Tamizifar, M., Arzani, K., Nemati, A., Khanfekr, A., Bolandi, M., "Synthesis of nanocrystalline Ni/Ce-YSZ powder via a polymerization route", *J. Materials Science-Poland*, vol. 31, Issue 3, pp. 343-349, 2013.
- [11] Wu, R. J., Chen, C. Y., Chen, M. H., Sun, Y. L. "photoreduction measurement of ozone using Pt/TiO₂-SnO₂ material at room temperature", *J. Sensors and Actuators B*, vol. 123, Issue 2, pp. 1077-1082, 2007.
- [12] Choe, Y. S. "New gas sensing mechanism for SnO₂ thin film gas sensors fabricated by using dual ion beam sputtering", *J. Sensors and Actuators B*, vol. 77, Issues 1-2, pp. 200-208, 2001.
- [13] Xiang, X., Zu, X. T., Zhu, S., Wang, L. M. "Optical and magnetic properties of Ni/NiO nanoparticles in YSZ by metal ion implantation and post-implantation annealing", *J. Physica B: Condensed Matter*, vol. 368, Issues 1-4, pp. 88-93, 2005.
- [14] Batista, R. M., Muccillo, E. N. S. "Structure, microstructure and electrical conductivity of 8YSZ containing NiO", *J. Ceramics International*, vol. 37, Issue 6, pp. 1929-1934, 2011.
- [15] Wang, Z. L. "Nanostructure of zinc oxide", *J. Materials today*, vol. 7, Issue 6, pp. 26-38, 2004.
- [16] Liu, X., Cheng, B., Qin, H., Song, P., Huang, Sh., Zhang, R., Hu, J., Jiang, M. "Preparation, electrical and gas-sensing properties of perovskite-type $La_{1-x}Mg_xFeO_3$ semiconductor materials", *J. Physics and Chemistry of solids*, vol. 68, Issue 4, pp. 511-515, 2007.

جدول ۲- کوتاه‌ترین زمان پاسخ و بازیابی

نمونه	δ YSZ	1/ δ Ni - δ YSZ
زمان پاسخ (ثانیه)	۱	۴۸
زمان بازیابی (ثانیه)	۱۶۰	۲۲۵

۴- نتیجه‌گیری

نتایج حاصل شده از این پژوهش به شرح زیر است:

- (۱) افزایش دما سبب افزایش هدایت برای هر دو نوع نمونه شده است.
- (۲) در اثر افزودن پیش ماده‌ی نیکل به عنوان دوبنت، انرژی فعالسازی افزایش یافت.
- (۳) نمونه Ni - YSZ حساسیت را در دمای بالاتر نسبت به نمونه بدون دوبنت(YSZ) نشان داده است.
- (۴) نمونه بدون دوبنت باعث حساسیت بهتری شده است.
- (۵) با توجه به بیشتر شدن انرژی فعالسازی در نمونه Ni - YSZ، زمان پاسخ طولانی‌تری حاصل شده است.
- (۶) مزیت استفاده از دوبنت نیکل کوتاه بودن زمان بازیابی آن است.
- (۷) در اثر افزودن دوبنت (اکسید نیکل) بندگپ با توجه به افزایش انرژی فعالسازی، افزایش یافته است.

مراجع

- [1] Sivaraman, R., "calibration of YSZ sensor for the measurement of oxygen concentration in liquid PBE", Master of Science Thesis, university of Nevada Las Vegas, USA, 2000.
- [2] Mori, M., Sadaoka, Y. "Potentiometric VOC detection at sub-ppm levels based on YSZ electrolyte and platinum electrode covered with gold", *J. Sensors and Actuators B*, vol. 146, Issue 1, pp. 46-52, 2010.
- [3] Chen, L., Hu, J., Fang, Sh., Han, Zh., Zhao, M., Wu, Zh., Liu, X., Qin, H., "Ethanol-sensing properties of $SmFe_{1-x}Ni_xO_3$ perovskite oxides", *J. Sensors and Actuators B: chemical*, vol. 139, Issue 2, pp. 407-410, 2009.
- [4] Bartolomeo, E. D., Grilli, M. L., "YSZ-based electrochemical sensors: From materials preparation to testing in the exhausts of an engine bench test", *J. European Ceramic Society*, vol. 25, Issue 12, pp. 2959-2964, 2005.
- [5] Li Liu, Y., Xing, Y., Yang, H. F., Liu, Zh. M., Yang, Y., Shen, G. L., Yu, R. Q. "Ethanol gas sensing properties of nano-crystalline cadmium stannate thick films doped with Pt", *J. Analytica Chimica Acta*, vol. 527, Issue 1, pp. 21-26, 2004.
- [6] Basu, R.N., Tietz, F., Wessel, E., Stöver, D. "Interface reactions during co-firing of solid oxide fuel cell components", *J. Materials Processing Technology*, vol. 147, Issue 1, pp. 85-89, 2004.